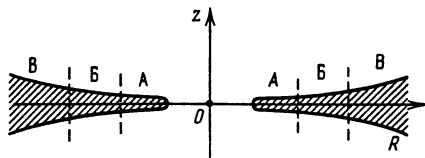


## § 6. Дискковая аккреция

В предыдущих параграфах мы рассмотрели случай, когда захваченное гравитационным полем звезды вещество не обладает общим вращательным моментом. Но в природе так никогда не бывает. Межзвездная среда турбулизована (Кашпан и Пикельнер, 1979). В двойных системах вещество, поставляемое на одну из звезд соседним компонентом, обладает вращательным моментом, вызванным орбитальным движением (Горбацкий, 1965). Галактическое вещество обладает вращательным моментом за счет дифференциального вращения Галактики (Шварцман, 19716) и т.д. Оценки показывают, что во многих случаях вращательный момент настолько

Рис. 27. Дискковая аккреция. А, Б, В — три зоны диска с различной ролью давления излучения и различными механизмами непрозрачности



велик, что наряду с силой гравитации необходимо учитывать центробежные силы.

Предельным следствием такой ситуации является образование аккреционного диска. Первые исследования газодинамики аккреционных дисков были предприняты Вейцекером (1948) в связи с образованием галактик, затем Горбацкий (1965) (см. Горбацкий, 1974) исследовал перенос вещества в тесных двойных системах. Прендергаст (1960) рассматривал движение газовых потоков в двойных системах в приближении невзаимодействующих частиц.

Существенный прогресс в понимании процесса дискковой аккреции на релятивистские звезды был достигнут благодаря работам Линден-Белла (1969), Шакуры (1972), Прингла и Риса (1972), Шакуры и Сюняева (1973). Принципиальной сложностью построения теории дискковой аккреции является наше незнание характера турбулентности в дисках и, как следствие, незнание коэффициента динамической вязкости.

Дело сдвинулось с "мертвой точки" благодаря работе Шакуры (1972), который свел все наше незнание турбулентности к одному безразмерному параметру  $\alpha$ . В законченном виде  $\alpha$ -модель (или стандартная модель) стационарной дискковой аккреции построена Шакурой и Сюняевым (1973). Дальше мы будем следовать этой полезной работе.

Мы не будем давать формального вывода уравнений дискковой аккреции из уравнений Навье—Стокса, а сразу выпишем упрощенные уравнения, исходя из физических соображений. Подчеркнем, что теория стационарной дискковой аккреции отлична от рассмотренных выше случаев идеологически. Если раньше темп аккреции  $\dot{M}$  определялся в результате решения задачи, то теперь он является внешним (задаваемым заранее) параметром.

Предположим, что аккреционный диск тонкий, т.е. его характерный масштаб по  $z$ -координате  $H \ll R$  (рис. 27). Будем считать, что по  $z$ -координате вещество диска находится в гидростатическом равновесии — градиент давления уравнивается вертикальной компонентой силы тяжести

центральной звезды (самогравитацией диска пренебрегаем):

$$\frac{1}{\rho} \frac{dP}{dz} = - \frac{GM}{R^3} z.$$

Отметим одно очевидное, но важное для понимания сути дела обстоятельство. Со стороны звезды на каждую частицу диска действует радиальная сила, и если пренебречь столкновениями, то любая частица будет двигаться по окружности, наклоненной к плоскости симметрии диска. В газовом диске частицы вне плоскости симметрии движутся по окружности, но не по кеплеровской орбите (центр не совпадает со звездой). Ясно, что именно столкновения с соседними частицами обеспечивают движение в плоскости, компланарной плоскости симметрии диска.

Мы не будем интересоваться деталями вертикальной структуры диска. Поэтому перепишем уравнение гидростатического равновесия, полагая  $\Delta P = \rho a^2$  ( $a$  – скорость звука), а  $\Delta z = H$  (полутолщина диска). Тогда

$$a = \omega_K H, \quad (41. II)$$

где  $\omega_K = \sqrt{GM/R^3}$  – кеплеровская угловая скорость.

Будем считать, что круговое движение в диске происходит по кеплеровским орбитам. Это утверждение должно быть справедливо с точностью до  $(H/R)^2$ :

$$v_\varphi = \sqrt{\frac{GM}{R}} = \omega_K R. \quad (42. II)$$

Из уравнений (41. II) и (42. II) автоматически следует важное соотношение:

$$\frac{a}{v_\varphi} \approx \frac{H}{R}. \quad (43. II)$$

Следовательно, в тонких дисках тепловая энергия газа много меньше гравитационной (вся энергия "сидит" в кинетической энергии вращения). Это, кстати, оправдывает наше предположение о том, что в равновесие по  $\varphi$ -координате не входит градиент давления (сила гравитации уравновешивается центробежной силой).

Радиальное движение в диске обусловлено трением соседних слоев и обменом вращательного момента между ними. Перенос вращательного момента в диске по  $R$ -координате связан с моментом вязких сил:

$$\dot{M} \frac{d\omega_K R^2}{dR} = 2\pi \frac{d}{dR} W_{r\varphi} R^2; \quad (44. II)$$

$W_{r\varphi}$  – компонента вязких напряжений в диске:

$$W_{r\varphi} = -2\eta HR \frac{\partial \omega_K}{\partial R}, \quad (45. II)$$

где  $\eta$  – усредненный по  $z$ -координате коэффициент динамической вязкости. Вязкие напряжения пропорциональны градиенту угловой скорости и при твердотельном вращении исчезают.

В случае изотропной турбулентности коэффициент вязкости равен (Ландау и Лифшиц, 1953)

$$\eta = \frac{1}{3} \rho v_t l_t,$$

где  $v_t$  и  $l_t$  — характерные скорость и масштаб турбулентных пульсаций. Величины  $v_t$  и  $l_t$  в аккреционном диске заранее не известны. Избежать этой неопределенности можно, предположив, что (Шакура, 1972)

$$v_t l_t = \alpha a_s H, \quad (46.II)$$

где  $\alpha$  — безразмерный параметр, называемый параметром турбулентности. Очевидно, при изотропной турбулентности  $l_t \ll H$ . Кроме того, сверхзвуковая турбулентность быстро заглушает, так что  $v_t \ll a_s$ . Исходя из этого, полагают, что  $\alpha \ll 1$ .

Уравнение изменения вращательного момента (44.II) легко интегрируется:

$$W_{r\varphi} = - \frac{\dot{M}}{2\pi} \omega_K \left[ 1 - \left( \frac{R_d}{R} \right)^{1/2} \right] + W_{r\varphi}(in), \quad (47.II)$$

где  $R_d$  — радиус внутренней границы диска,  $W_{r\varphi}(in)$  — компонента тензора вязких напряжений на внутреннем краю диска ( $R = R_d$ ).

При рассмотрении аккреции на невращающуюся черную дыру полагают, что внутренняя граница соответствует последней устойчивой орбите  $R_d = 3 R_g$  (Каплан, 1949). Дальнейшее радиальное движение вещества к черной дыре происходит за счет эффектов ОТО, так что  $W_{r\varphi}(in) = 0$ .

Радиус внутренней границы диска для дисковой аккреции на нейтронную звезду,  $R_d$ , может обуславливаться: а) столкновениями с твердой поверхностью звезды; б) действием магнитных сил; в) взаимодействием вещества с эжектируемым релятивистским ветром. Совершенно различными могут быть условия, налагающиеся на тензор вязких напряжений  $W_{r\varphi}$  (см. главы V, VI).

Итак, мы рассмотрели три уравнения, которые являются следствием уравнения движения (уравнения Стокса).

Уравнение неразрывности, очевидно, запишется в виде

$$\dot{M} = 2\pi\rho(2H)Rv_r, \quad (48.II)$$

где  $v_r$  — радиальная скорость движения вещества в диске. Введем поверхностную плотность

$$\Sigma = 2H\rho.$$

Тогда уравнение (48.II) примет вид

$$\dot{M} = 2\pi \Sigma R v_r. \quad (49.II)$$

Положим, что на внутренней границе  $W_{r\varphi}(in) = 0$ . Тогда из (47.II) вдали от внутренней границы диска имеем

$$W_{r\varphi} \approx - \frac{\dot{M}}{2\pi} \omega_K,$$

а по определению  $W_{r\varphi}$  (уравнение (45.II)) получаем

$$W_{r\varphi} \approx 3\eta H \omega_K = \alpha PH. \quad (50.II)$$

Из (48.II) и (50.II) находим, что

$$\frac{v_r}{v_\varphi} \approx \alpha \left( \frac{H}{R} \right)^2. \quad (51.II)$$

Таким образом, радиальное движение, как и ожидалось, оказалось эффектом второго порядка малости по  $(H/R)$ .

Перенос механической энергии в диске (вращательный момент переносится по диску) приводит к выделению тепла

$$Q^+ = -\frac{1}{2} W_{r\varphi} R \frac{d\omega}{dR} = \frac{3}{4} \omega W_{r\varphi}; \quad (52.II)$$

$Q^+$  — это количество энергии, поступающей на единицу площади диска в единицу времени на каждую из двух сторон. Эта энергия уносится в основном излучением (см. Любарский, 1984). Поток энергии в диффузном приближении (Зельдович и Райзер, 1966), очевидно, равен

$$Q^- = \frac{c}{3\kappa\rho} \frac{d\epsilon_r}{dz} \approx \frac{2\epsilon_r c}{3\kappa\Sigma}. \quad (53.II)$$

В стационарном случае  $Q^- = Q^+$ . Окончательная система уравнений дисковой аккреции приведена в табл. 3.

Т а б л и ц а 3

Система уравнений стандартной дисковой аккреции (Шакура и Сюняев, 1976)

Номер	Смысл	Уравнение
I	Закон Кеплера	$\omega = \omega_K = (GM/R^3)^{1/2}$
II	Уравнение неразрывности	$\dot{M} = -2\pi\Sigma v_r R$
III	Закон изменения вращательного момента	$W_{r\varphi} = \frac{\dot{M}}{2\pi} \omega \left[ 1 - \left( \frac{R_d}{R} \right)^{1/2} \right] + W_{r\varphi}(in)$
IV	Уравнение гидростатического равновесия	$P = \frac{\Sigma \omega^2 H}{6}$
V	Тензор вязкости	$W_{r\varphi} = \alpha PH$
VI	Выделение механической энергии	$Q^+ = -\frac{1}{2} W_{r\varphi} R \frac{d\omega}{dR}$
VII	Потери энергии на излучение	$Q^- = \frac{2}{3} \frac{\epsilon_r}{\kappa\Sigma} c$
VIII	Уравнение состояния	$P = \frac{3}{2} \rho R_u (T_e + T_i) + \epsilon_r/3$
IX	Сечение поглощения	$\sigma[\text{см}^2] = \sigma_T + \sigma_{ff} \approx 6,65 \cdot 10^{-25} + \frac{1,8 \cdot 10^{-25} n}{T^{7/2}}$

Система уравнений, приведенная в табл. 3, решается алгебраически, если в уравнениях VIII и IX одним из членов можно пренебречь. Поэтому аккреционный диск разбивают на три зоны, внутри каждой из которых доминирует тот или иной член. В самой внутренней зоне (зона А) (см. рис. 27) давление излучения  $P_r$  намного превышает газовое давление  $P_g$ , и можно пренебречь свободно-свободным поглощением. В средней зоне (зона Б) давление излучения уже малó,  $P_r \ll P_g$ , но томсоновское рассеяние по-прежнему доминирует над свободно-свободным поглощением,  $\sigma_T \gg \sigma_H$ . И наконец, во внешней зоне (зоне В)  $P_r \ll P_g$  и  $\sigma_{ff} \gg \sigma_T$ .

Размеры переходных слоев между зонами оцениваются следующим образом:

$$\begin{aligned} r_{AB} &\approx 50(\alpha m)^{2/21} \dot{m}^{16/21}, \\ r_{BB} &\approx 2,7 \cdot 10^3 \dot{m}^{2/3}. \end{aligned} \quad (54.II)$$

Здесь  $r \equiv R/3R_g$ ,  $\dot{m} = \dot{M}/\dot{M}_{cr}$ ,  $m = M/M_\odot$ . Для нейтронных звезд  $R_g \approx 5$  км. Тогда  $r_{AB} \approx 750$  км для критического темпа аккреции. Как мы убедимся дальше, во многих случаях аккреционный диск раньше разрушается магнитным полем. Так что в аккреционных дисках вокруг сильно замагниченных нейтронных звезд зона А отсутствует.

В заключение этого параграфа кратко остановимся на важном отличии гидростатики аккреционных дисков от гидростатики звезд и звездных атмосфер.

Из уравнения гидростатического равновесия IV для случая изотермической атмосферы следует, что

$$\begin{aligned} P &= P_0 e^{-(z/H)^2}, \\ \rho &= \rho_0 e^{-(z/H)^2}, \\ H &= \left( \frac{kTR^3}{Mm_p\sigma} \right)^{1/2}. \end{aligned} \quad (55.II)$$

Плотность и давление в атмосфере диска падает быстрее, чем в атмосферах звезд ( $\sim e^{-z^2/H^2}$ ). Это связано с тем, что, когда мы "поднимаемся" над плоскостью диска, растет вертикальная компонента силы тяжести со стороны центральной звезды.

Вопрос о возникновении тепловой неустойчивости дисковой аккреции (Лайтман, 1974; Лайтман и Эрдли, 1974) был подробно проанализирован Сюняевым и Шакурой (1975), Шакурой и Сюняевым (1976). Было показано, что во внутренней зоне, где главную роль играет излучение (зона А), процесс аккреции неустойчив. Излучение диска оказывается сильно переменным (см. также Сюняев, 1972).

### § 7. Светимость и спектр аккреционных дисков

Энергия, выделяемая с единицы поверхности диска в обе стороны, определяется путем интегрирования выражения (52.II). Найдём количество энергии, выделяющейся в элементарном кольце диска толщиной  $dR$ :

$$dL(R) = 2Q^+ \cdot 2\pi R dR = \frac{3}{2} \dot{M} \frac{GM}{R^2} \left( 1 - \sqrt{\frac{R_d}{R}} \right) dR. \quad (56.II)$$